

11. Truesdell C. Invariant and complete stress functions for general continua // Arch. Rat. Mech. Anal.— 1959.— V. 4, N 1.
12. Остробаблин Н. И., Сенцов С. И. Общие решения и симметрии уравнений линейной теории упругости // ДАН СССР.— 1992.— Т. 322, № 3.
13. Norris A. N. On the acoustic determination of the elastic moduli of anisotropic solids and acoustic conditions for the existence of symmetry planes // Quart. J. Mech. and Appl. Math.— 1989.— V. 42, N 3.
14. Остробаблин Н. И. О матрице коэффициентов в уравнениях линейной теории упругости // ДАН СССР.— 1991.— Т. 321, № 1.
15. Остробаблин Н. И. Об уравнениях линейной теории упругости // ПМТФ.— 1992.— № 3.
16. Борок В. М. О системах линейных уравнений в частных производных с постоянными коэффициентами // Изв. вузов. Математика.— 1957.— № 1.
17. Овсянников Л. В. Групповой анализ дифференциальных уравнений.— М.: Наука, 1978.
18. Marciniak J. J. The generalized scalar wave equation and linear differential invariants in linear elasticity // Intern. J. Engng Sci.— 1989.— V. 27, N 6.
19. Остробаблин Н. И. Собственные модули упругости и состояния для материалов кристаллографических сингоний // Динамика сплошной среды: Сб. науч. тр./АН СССР, Сиб. отд-ние, Ин-т гидродинамики.— 1986.— Вып. 75.
20. Zhang Hong-qing, Yang Guang. Constructions of the general solution for a system of partial differential equations with variable coefficients // Appl. Math. and Mech. (Engl. Ed.).— 1991.— V. 12, N 2.

г. Новосибирск

Поступила 16/X 1992 г.

УДК 539.3

B. M. Александров, B. I. Сметанин

## АНАЛИЗ ЗАДАЧИ САКА ПРИ ДЕТАЛЬНОМ УЧЕТЕ МЕЖАТОМНЫХ СИЛ СЦЕПЛЕНИЯ

В [1] рассмотрена задача Гриффитса при детальном учете межатомных сил сцепления, действующих между берегами трещины. При этом силы сцепления вносятся в граничные условия, в результате чего задача приводится к нелинейному интегродифференциальному уравнению. В настоящей работе в аналогичной постановке рассмотрена осесимметричная задача о растяжении упругого пространства, ослабленного круглой в плане плоской трещиной. Задача приведена к решению нелинейного интегрально-дифференциального уравнения, которое решается методами регулярных и срашиваемых асимптотических разложений. С использованием одного из найденных асимптотических решений получено также численное решение исследуемого интегрально-дифференциального уравнения. Параметры критического состояния трещины определяются из условия плавности смыкания берегов трещины.

1. Пусть упругое пространство с правильной атомной решеткой содержит в плоскости  $z = 0$  круглую трещину радиуса  $a$ . Трещина находится в раскрытом состоянии под действием приложенных на бесконечности растягивающих усилий  $\sigma_z = p = \text{const}$ . При превышении нормального межатомного расстояния  $b$  между слоями атомов возникают силы сцепления, интенсивность которых  $\sigma_z$  может быть взята в виде [1]

$$(1.1) \quad \sigma_z = 2\theta \epsilon g(\epsilon/d) \quad (\theta = G(1-\nu)^{-1}).$$

Здесь  $G$  — модуль сдвига;  $\nu$  — коэффициент Пуассона;  $\epsilon = \Delta b/b$ ;  $b + \Delta b$  — расстояние между слоями атомов;  $d = \delta/b$  — относительное расстояние между слоями атомов, при котором силы сцепления достигают максимума, равного  $\sigma_p$  — теоретическому пределу прочности тела. Функция  $g(x)$  монотонно убывающая не медленнее, чем  $x^{-\alpha}$  ( $\alpha > 2$ ), удовлетворяющая условиям

$$g(0) = 1, \quad g(\infty) = 0, \quad g(1) + g'(1) = 0.$$

© B. M. Александров, B. I. Сметанин, 1993

На основании (1.1) найдем плотность эффективной поверхностной энергии среды [2]

$$(1.2) \quad \gamma = \frac{b}{2} \int_d^{\infty} \sigma_z d\varepsilon = \frac{\delta \sigma_p I}{2g(1)} \quad \left( I = \int_1^{\infty} x g(x) dx \right).$$

Пусть  $\Gamma(r) = 2u_z(r, +0)$  — раскрытие трещины ( $u_z$  — компонента вектора перемещения). Будем считать, что трещина начинается там, где расстояние между слоями атомов становится равным  $b + \delta$ . Значит, на контуре трещины  $\Gamma(a) = 0$  и  $\sigma_z(a, \pm 0) = \sigma_p$ . Учет межатомных сил сцепления приводит к следующим граничным условиям задачи:

$$z = 0, \quad \tau_{rz} = 0 \quad (0 \leq r < \infty), \quad u_z = 0 \quad (a < r < \infty),$$

$$\sigma_z = \frac{\sigma_p}{g(1)} \left( 1 + \frac{\Gamma}{\delta} \right) g \left( 1 + \frac{\Gamma}{\delta} \right) \quad (0 \leq r \leq a).$$

На бесконечности  $\sigma_z = p$ . Будем пренебрегать тем, что в силу (1.1) в окрестности контура трещины задача физически нелинейна, и считать справедливыми всюду вне трещины уравнения линейной теории упругости. Применение интегрального преобразования Ханкеля к полученной задаче для функции  $\Gamma(r)$  приводит ее к решению нелинейного интегродифференциального уравнения

$$(1.3) \quad \frac{1}{r} \frac{\partial}{\partial r} \left( r \frac{\partial}{\partial r} \right) \int_0^1 x \Gamma(x) dx \int_0^{\infty} J_0(ur) J_0(ux) du = \frac{1}{\lambda} [f(\Gamma) - p],$$

$$\Gamma(1) = 0, \quad 0 \leq r \leq 1, \quad f(\Gamma) = (1 + \Gamma) g(1 + \Gamma)/g(1),$$

где  $J_0(z)$  — функция Бесселя;

$$\Gamma_* = \Gamma/\delta; \quad p_* = p/\sigma_p; \quad r_* = r/a; \quad \lambda = b [4ag(1)]^{-1}.$$

Звездочка в (1.3) и ниже опущена. Критическую нагрузку  $p$  будем определять из условия [3]

$$(1.4) \quad \Gamma'(1) = 0.$$

Обращая стоящий в левой части (1.3) оператор, приведем уравнение (1.3) к виду

$$(1.5) \quad \Gamma(r) = 2p (\pi\lambda)^{-1} \sqrt{1 - r^2} - \Lambda f(\Gamma)/\lambda, \quad \Gamma(1) = 0, \quad 0 \leq r \leq 1,$$

$$\Lambda \omega = \frac{2}{\pi} \int_r^1 \frac{d\xi}{\sqrt{\xi^2 - r^2}} \int_0^{\xi} \frac{x \omega(x)}{\sqrt{\xi^2 - x^2}} dx.$$

Условие (1.4) с учетом (1.5) приводит к следующему представлению величины  $p$ :

$$(1.6) \quad p = \int_0^1 \frac{xf(\Gamma)}{\sqrt{1 - x^2}} dx.$$

Учитывая, что при  $x \in [0, \infty)$   $\max |f(x)| = f(0) = 1$ , можно показать, что  $p$  не превосходит 1. С этой целью достаточно оценить интеграл (1.6):

$$p \leq \int_0^1 \frac{x |f(\Gamma)|}{\sqrt{1 - x^2}} dx \leq \max_{\Gamma} |f(\Gamma)| \int_0^1 \frac{x dx}{\sqrt{1 - x^2}} = 1.$$

Отметим, что тривиальное решение уравнения (1.5), (1.6)  $\Gamma = 0$  имеет место при  $p = 1$ .

2. Решение уравнения (1.5), (1.6) при малых значениях параметра  $\lambda$  будем строить в виде асимптотических разложений

$$(2.1) \quad \Gamma(r) = \lambda [\Gamma_0(r) + \lambda \Gamma_1(r) + \lambda^2 \Gamma_2(r) + O(\lambda^3)];$$

$$(2.2) \quad p = 1 - \lambda^2 [A_0 + \lambda A_1 + \lambda^2 A_2 + O(\lambda^3)].$$

Коэффициенты  $A_n$  ( $n = 0, 1, 2$ ) подлежат определению из вытекающего из (1.4) условия

$$(2.3) \quad \Gamma'_n(1) = 0 \quad (n = 0, 1, 2).$$

Внося (2.1), (2.2) в (1.5), (1.6) и приравнивая выражения при одинаковых степенях  $\lambda$ , получим интегральные уравнения, из которых последовательно находятся функции  $\Gamma_0(r)$ ,  $\Gamma_1(r)$  и  $\Gamma_2(r)$ :

$$(2.4) \quad \Gamma_n(r) - 2B_0\Lambda(\Gamma_0\Gamma_n) = \Lambda\psi_n - 2A_n\sqrt{1-r^2}/\pi,$$

$$\psi_n(r) = [B_0\Gamma_1^2(r) - 3B_1\Gamma_0^2(r)\Gamma_1(r)]\delta_{n2} - B_n\Gamma_0^{n+2}(r) \quad (n = 0, 1, 2),$$

$$B_0 = 1 - \frac{g''(1)}{2g(1)}, \quad B_1 = \frac{g''(1) + (1/3)g'''(1)}{2g(1)}, \quad B_2 = \frac{g'''(1) + (1/4)g^{IV}(1)}{6g(1)}.$$

Здесь  $\delta_{nm}$  — символ Кронекера. Условие (2.3) приводит к следующим представлениям коэффициентов  $A_n$ :

$$(2.5) \quad A_n = \int_0^1 [2B_0\Gamma_0(x)\Gamma_n(x) + \psi_n(x)] \frac{x dx}{\sqrt{1-x^2}} \quad (n = 0, 1, 2).$$

Отметим, что при  $n = 0$  интегральное уравнение (2.4) является нелинейным, при  $n = 1, 2$  — линейным. При  $n = 0$  с целью исключения из рассмотрения коэффициента разложения  $B_0$  функции  $g(x)$  функцию  $\Gamma_0(r)$  представим в виде

$$\Gamma_0(r) = C\varphi(r)/B_0.$$

Тогда из (2.4), (2.5) имеем интегральное уравнение для определения  $\varphi(r)$ :

$$(2.6) \quad \varphi(r) = C\Lambda\varphi^2 - 2\sqrt{1-r^2}/\pi, \quad C = \left[ \int_0^1 \frac{x\varphi^2(x) dx}{\sqrt{1-x^2}} \right]^{-1}.$$

Приближенное решение уравнения (2.6) может быть получено методом последовательных приближений по схеме

$$(2.7) \quad \varphi_{m+1}(r) = \varphi_0(r) + C_m\Lambda\varphi_m^2, \quad (m = 0, 1, \dots, M),$$

$$\varphi_0(r) = -\frac{2}{\pi}\sqrt{1-r^2}, \quad C_m = \left[ \int_0^1 \frac{x\varphi_m^2(x) dx}{\sqrt{1-x^2}} \right]^{-1}.$$

При реализации схемы (2.7) для каждого значения  $m$  функции  $\varphi_m(r)$  могут быть найдены в явном виде.

Для значений  $n = 1, 2$  уравнение (2.4), (2.5) целесообразно преобразовать к форме, не содержащей  $A_n$ :

$$(2.8) \quad \Gamma_n(r) - 2B_0\Lambda_1(\Gamma_0\Gamma_n) = \Lambda_1\psi_n \quad (n = 1, 2),$$

$$\Lambda_1\omega = \Lambda\omega - \frac{2}{\pi}\sqrt{1-r^2} \int_0^1 \frac{x\omega(x) dx}{\sqrt{1-x^2}}.$$

Решение уравнения (2.8) может быть получено методом Бубнова — Галеркина. При реализации этого метода решение уравнения (2.8) будем искать в виде

$$(2.9) \quad \Gamma_n(r) = \frac{2}{\pi}\sqrt{1-r^2} \sum_{i=0}^{\infty} X_i U_{2i}(r) \quad (n = 1, 2),$$

где  $U_m(r)$  — многочлены Чебышева второго рода. Применение к уравнению (2.8) с учетом (2.9) процедуры метода Бубнова — Галеркина приводит его к

следующим системам линейных алгебраических уравнений относительно коэффициентов  $X_m$  ( $n = 1, 2$ ):

$$(2.10) \quad X_{nj} - \frac{4B_0}{\pi} \sum_{i=0}^{\infty} X_{ni} H_{ji} = D_{nj} \quad (j = 0, 1, \dots),$$

$$H_{ji} = 2 \int_0^1 \int_0^1 \sqrt{\frac{1-t^2}{1-x^2}} t \Gamma_0(t) P_j(2y^2 - 1) U_{2i}(t) dx dy -$$

$$- \delta_{j0} \int_0^1 x \Gamma_0(x) U_{2i}(x) dx \quad (t = xy),$$

$$D_{nj} = 2 \int_0^1 \int_0^1 x y \psi_n(xy) P_j(2y^2 - 1) \frac{dx dy}{\sqrt{1-x^2}} - \delta_{j0} \int_0^1 \frac{x \psi_n(x)}{\sqrt{1-x^2}} dx.$$

Здесь  $P_j(x)$  — многочлены Лежандра. Так как условие (2.3) было удовлетворено за счет выбора постоянных  $A_n$ , то коэффициенты  $X_m$ , определяемые из (2.10), должны удовлетворять соотношению

$$\sum_{i=0}^{\infty} (2i+1) X_{ni} = 0 \quad (n = 1, 2).$$

Непосредственные вычисления по полученным выше формулам проводились для

$$(2.11) \quad g(x) = \exp(-x).$$

В результате этих вычислений определено:  $B_0 = 1/2$ ,  $B_1 = 1/3$ ,  $B_2 = -1/8$ ,  $A_0 = 2,14$ ,  $A_1 = 20,5$ ,  $A_2 = 153$ . Системы (2.10) для  $n = 1$  и  $n = 2$  решались методом редукции.

3. Найденное в п. 2 решение соответствует трещинам большой относительной длины и относительно малого раскрытия. Рассмотрим теперь случай относительно большого раскрытия трещин. С этой целью введем обозначения:

$$\mu = \lambda/p, \quad \Gamma^1 = \mu \Gamma.$$

В результате уравнение (1.3) примет вид

$$(3.1) \quad \frac{1}{r} \frac{\partial}{\partial r} \left( r \frac{\partial}{\partial r} \right) \int_0^1 x \Gamma(x) dx \int_0^{\infty} J_0(ur) J_0(ux) du = \frac{\mu}{\lambda} f \left( \frac{\Gamma}{\mu} \right) - 1 \quad (0 \leq r \leq 1);$$

$$(3.2) \quad \Gamma(1) = 0, \quad \Gamma'(1) = 0.$$

В (3.1), (3.2) и далее верхний индекс 1 у  $\Gamma$  опущен. Обращая в (3.1), (3.2) оператор, имеем

$$(3.3) \quad \Gamma(r) = \frac{2}{\pi} \sqrt{1-r^2} - \frac{2\mu}{\pi\lambda} \int_{\xi=r}^1 \frac{d\xi}{\sqrt{\xi^2-r^2}} \int_0^{\xi} \frac{xf(\Gamma/\mu)}{\sqrt{\xi^2-x^2}} dx \quad (0 \leq r \leq 1).$$

Это уравнение эквивалентно (3.1), (3.2) при выполнении соотношения

$$(3.4) \quad \int_0^1 \frac{xf(\Gamma/\mu)}{\sqrt{1-x^2}} dx = \frac{\lambda}{\mu},$$

следующего из второго условия (3.2). Для решения уравнения (3.3), (3.4) при малых значениях параметра  $\mu$  применим метод срашиваемых асимптотических разложений [4]. Внешнее (проникающее) решение вне контура трещины при  $\mu \ll 1$  и с учетом свойств функции  $g(x)$  может быть получено из (3.3). Оно имеет вид

$$\Gamma_0(r) = 2\sqrt{1-r^2}/\pi.$$

Рассмотрим теперь  $\varepsilon$ -окрестность точки  $r = 1$ . Введем обозначения:

$$(3.5) \quad \rho = (1 - r)/\varepsilon, \quad s = (1 - \xi)/\varepsilon, \quad t = (1 - x)/\varepsilon.$$

При подходе к границе  $\varepsilon$ -окрестности внешнее решение с учетом (3.5) примет вид

$$\Gamma_0(r) = 2\sqrt{2\varepsilon\rho}/\pi.$$

Поэтому для срашивания внутреннее решение будем искать в форме

$$(3.6) \quad \Gamma(r) = \sqrt{\varepsilon}q(\rho) + o(\sqrt{\varepsilon}).$$

Внося представление (3.6) в (3.3) и переходя к внутренней переменной, найдем

$$q(\rho) = \frac{2}{\pi}\sqrt{2\rho} - \frac{\kappa}{\pi} \int_0^\rho \frac{ds}{\sqrt{\rho-s}} \int_s^\infty \frac{f(q)}{\sqrt{t-s}} dt \quad (0 \leq \rho < \infty), \quad \sqrt{\varepsilon} = \mu, \quad \kappa = \mu^2/\lambda.$$

Меняя затем порядок интегрирования и вычисляя внутренний интеграл, окончательно получим

$$(3.7) \quad q(\rho) = \frac{2}{\pi}\sqrt{2\rho} - \frac{\kappa}{\pi} \int_0^\infty f(q) \ln \frac{\sqrt{\zeta} + \sqrt{\rho}}{|\sqrt{\zeta} - \sqrt{\rho}|} d\zeta \quad (0 \leq \rho < \infty).$$

Аналогично условие (3.4) примет вид

$$(3.8) \quad \kappa J = 1 \quad \left( J = \int_0^\infty \frac{f(q) dt}{\sqrt{2t}} \right).$$

Из (3.8) найдем критическое усилие

$$(3.9) \quad p = \sqrt{\lambda J}.$$

Отметим, что Саком в рассматриваемой задаче на основании энергетического принципа Гриффитса для определения критического усилия получена формула [2]

$$(3.10) \quad p = \sqrt{\pi\theta\gamma/a},$$

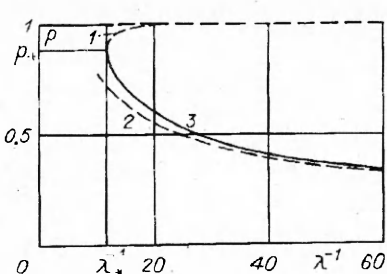
которую в используемых здесь безразмерных величинах запишем как

$$(3.11) \quad p = \sqrt{\pi\lambda I/g(1)}.$$

Для случая (2.11) по формулам (3.7)–(3.9) и (1.2), (3.11) получено соответственно  $p = \sqrt{2,00\pi\lambda}$  и  $p = \sqrt{2\pi\lambda}$ . Интегральное уравнение (3.7) решалось методом последовательных приближений, в качестве нулевого приближения бралось значение  $q_0(\rho) = 2\sqrt{2\rho}/\pi$ . При численном интегрировании устранение логарифмической особенности в подынтегральном выражении (3.7) проводилось с использованием интеграла 4.339 [5].

4. Приближенное решение интегрального уравнения (1.5), (1.6) может быть найдено методом последовательных приближений. При этом в качестве нулевого приближения для конкретного значения параметра  $\lambda$  следует взять одно из полученных выше асимптотических решений. Затем, меняя  $\lambda$  с достаточно малым шагом, в качестве нулевого приближения следует брать

решение уравнения (1.5), (1.6), найденное для предыдущего значения  $\lambda$ . На рисунке приведены результаты вычисления значений предельной нагрузки  $p$ , полученные по формулам (2.2), (3.9) и (1.6) (кривые 1–3 соответственно) при  $g(x) = \exp(-x)$ . Реализуемой в действительности является нижняя ветвь кривой 3 при  $\lambda_*^{-1} < \lambda^{-1}$  и  $p < p_*$  ( $\lambda_* = 0,0865$ ,  $p_* = 0,890$ ), так как у раскрытой трещины при монотонном возра-



стании нагрузки  $p$  в первую очередь будет достигнуто напряженно-деформированное состояние, отвечающее этой ветви. При  $\lambda^{-1} < \lambda_*^{-1}$  (или  $a < 7,85b$ ) предельная нагрузка  $p$  равна 1, что соответствует разрушению по достижении теоретического предела прочности. При  $\lambda^{-1} \geq 55$  расхождение значений  $p$ , полученных по формуле Сака (3.11) и по формуле (1.6), не превосходит 3 %.

#### ЛИТЕРАТУРА

1. Александров В. М., Кудин И. И. Асимптотические методы в задаче Гриффитса // ПММ.— 1989.— Т. 53, вып. 4.
2. Панасюк В. В. Предельное равновесие хрупких тел с трещинами.— Киев: Наук. думка, 1968.
3. Желтов Ю. П., Христианович С. А. О гидравлическом разрыве нефтеносного пласта // Изв. АН СССР. ОТН.— 1955.— № 5.
4. Найфэ А. Х. Методы возмущений.— М.: Мир, 1976.
5. Градштейн И. С., Рыжик И. М. Таблицы интегралов, сумм, рядов и произведений.— М.: Наука, 1971.

г. Москва,  
г. Ростов-на-Дону

Поступила 23/X 1992 г.

УДК 532.546

С. А. Сафонов

#### МОДЕЛИРОВАНИЕ ТЕПЛОВОГО РЕЖИМА ТРЕЩИНОВАТОГО ГЕОТЕРМАЛЬНОГО КОЛЛЕКТОРА

В работе предлагается модель теплообмена в недеформируемом трещиноватом геотермальном коллекторе, в которой учитывается термическое сопротивление блоков породы, составляющих пласт и теплообмен с окружающим пласт массивом.

Тепловой режим вертикального геотермального трещиноватого пласта в условиях неизотермической фильтрации без учета термического сопротивления блоков породы исследовался в [1]. Полуаналитический метод учета теплопотерь в блоках породы был предложен в [2]. В его основу положено допущение, что температура в блоке породы по нормали к его поверхности изменяется по закону  $T_b(n, t) = (a + bn + cn^2) \exp(-n/\sqrt{a_b t})$  ( $n$  — нормаль,  $a_b$  — температуропроводность блока).

Рассмотрим задачу определения теплового режима трещиноватого горизонтального геотермального пласта в условиях неизотермической фильтрации в следующей постановке. Введем систему координат  $(x, y, z)$  так, чтобы плоскость  $(z = 0)$  совпадала с кровлей пласта. Будем считать, что мощность пласта  $h$  много меньше толщины породы над ним. В этом случае задача симметрична относительно плоскости  $\{z = h/2\}$ . Предположим, что:

1) мощность пласта много меньше его размеров в плоскости  $Oxy$  и поле скорости фильтрации двумерно — отсутствует компонента скорости в направлении оси  $z$ , перпендикулярной пласту;

2) теплообмен на границе раздела твердой и жидкой фаз происходит настолько интенсивно (число Би  $Bi = \alpha L_b / \lambda_b \gg 1$ ,  $\alpha$  — коэффициент межфазного теплообмена,  $L_b$  — характерный размер блока породы,  $\lambda_b$  — теплопроводность его материала), что температуры фаз на границе выравниваются практически мгновенно, по сравнению с характерным временем эксплуатации пласта;

3) блоки породы, составляющие пласт, представляются в виде регулярно уложенных параллелепипедов;

© С. А. Сафонов, 1993